

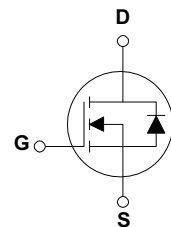
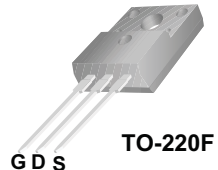
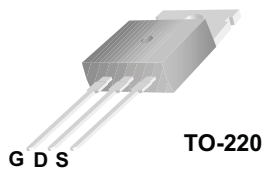


产品描述

7N60 为N沟道增强型高压功率MOS场效应管。该产品广泛适用于AC-DC开关电源，DC-DC电源转换器，高压H桥PMW马达驱动。

产品特点

7.0A, 600V, RDS(on) = 1.2 Ω @VGS = 10 V
低电荷、低反向传输电容
开关速度快



极限值 (TC=25°C)

参数名称	符号	JST7N60P	JST7N60F	单位
漏极-源极电压	V _{DS}	600		V
漏极电流@Tc=25°C	I _D	7		A
栅源电压	V _{GS}	±30		V
耗散功率@Tc=25°C	P _D	147	48	W
结温	T _J	150		°C
储存温度	T _{stg}	-55~150		°C
雪崩	E _{AS}	420		mJ

动态特性值

参数说明	符号	测试条件	最小值	典型值	最大值	单位
输入电容	C _{iss}	V _{DS} =25V, V _{GS} =0V, f=1.0MHz	--	1380	1800	pF
输出电容	C _{oss}	V _{DS} =25V, V _{GS} =0V, f=1.0MHz	--	115	150	pF
反向传输电容	C _{rss}	V _{DS} =25V, V _{GS} =0V, f=1.0MHz	--	23	30	pF

特性参数值 (TC=25° C)

参数说明	符号	测试条件	最小值	典型值	最大值	单位
漏源反向电压	BV_{DSS}	$V_{GS}=0V, I_D=250\mu A$	600	--	--	V
漏源截止电流	I_{DSS}	$V_{DS}=600V, V_{GS}=0V$	--	--	10	μA
栅源截止电流	$I_{GSS(F/R)}$	$V_{GS}=\pm 30V, V_{DS}=0V$	--	--	± 100	nA
通态电阻	$R_{DS(ON)}$	$V_{GS}=10V, I_D=3.5A$	--	1.0	1.2	Ω
栅源极开启电压	$V_{GS(th)}$	$V_{DS}=V_{GS}, I_D=250\mu A$	2.0	--	4.0	V
漏源二极管正向导通压降	g_{FS}	$I_D=3.5A, V_{DS}=40V$	--	8.2	--	S

动态特性

参数说明	符号	测试条件	最小值	典型值	最大值	单位
栅极电荷	Q_g	$V_{DS}=480V$ $I_D=7.0A$ $V_{GS}=10V$	--	38	50	nC
栅源电荷	Q_{gs}		--	6.4	--	nC
栅漏电荷	Q_{gd}		--	15	--	nC

开关特性

参数说明	符号	测试条件	最小值	典型值	最大值	单位
延迟时间(开启)	$T_{d(on)}$	$V_{DD}=300V$ $I_D=7.0A$ $R_G=25\Omega$	--	30	70	ns
上升时间	T_r		--	80	170	ns
延迟时间	$T_{d(off)}$		--	125	260	ns
下降时间	t_f		--	85	180	ns

特性曲线

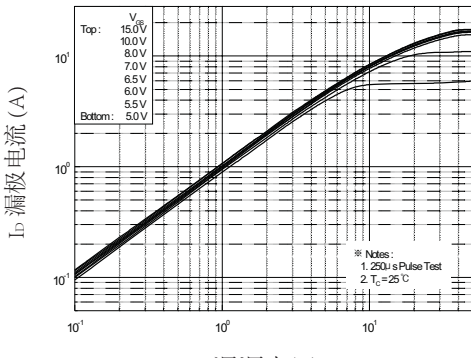


图1. 通态特性

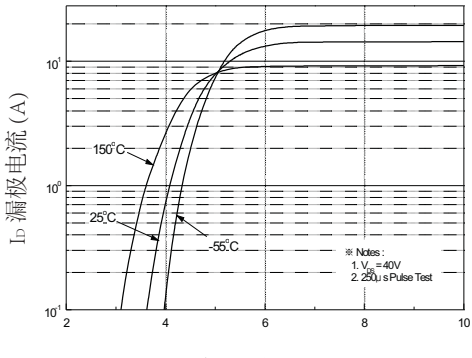


图2. 变化特性

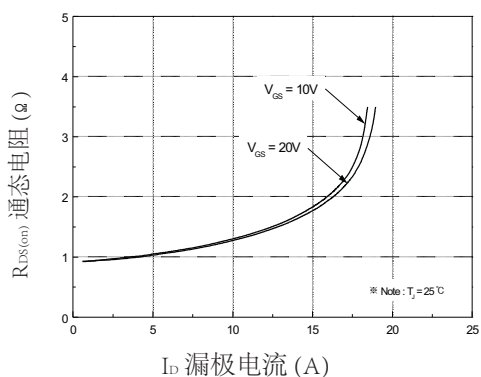


图3. 通态电阻与漏极电流
和栅极电压的关系

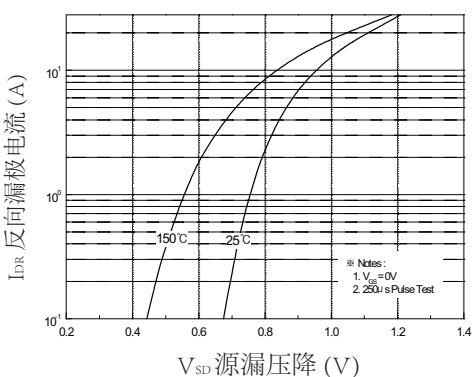


图4. 二极管正向压降与源极电流
和温度的关系

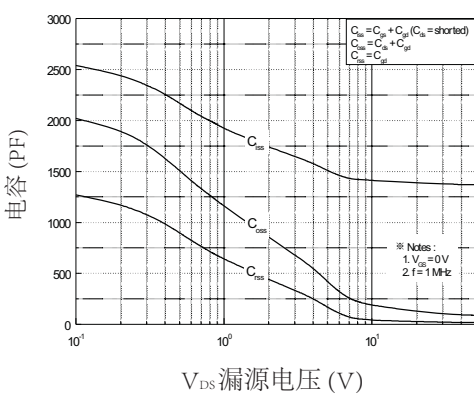


图5. 电容特性

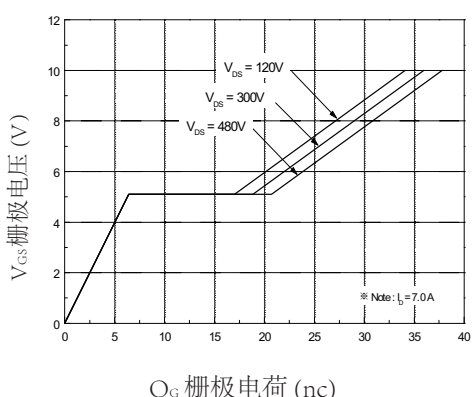


图6. 棚极电荷特性

特性曲线

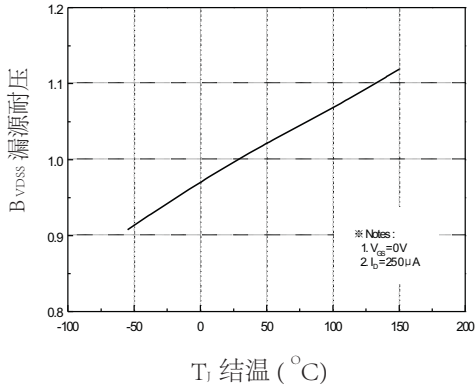


图7. 耐压与温度关系

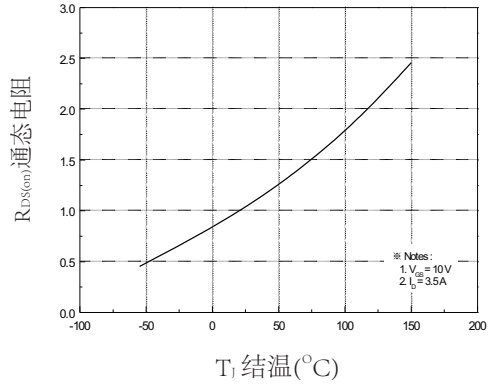


图8. 通态电阻与温度关系

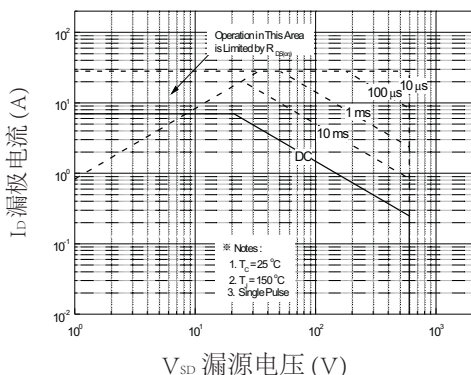


图9-1. 安全使用范围 (TO-220)

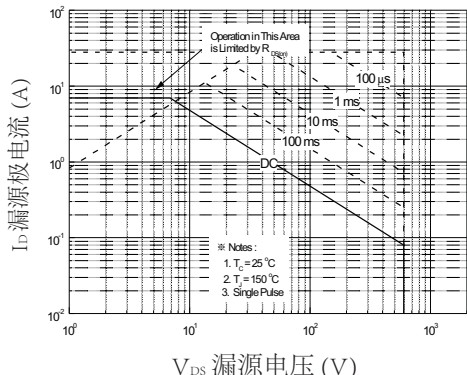


图9-2. 安全使用范围 (TO-220F)

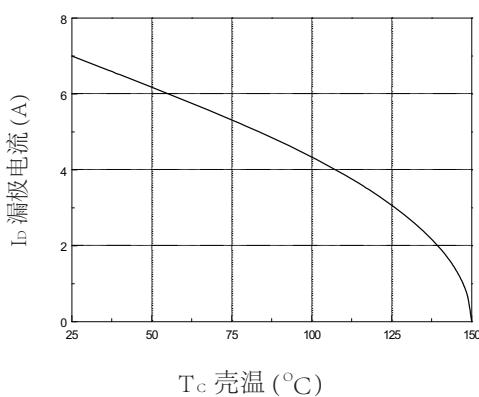


图10. 最大漏极电流与壳温关系

特性曲线

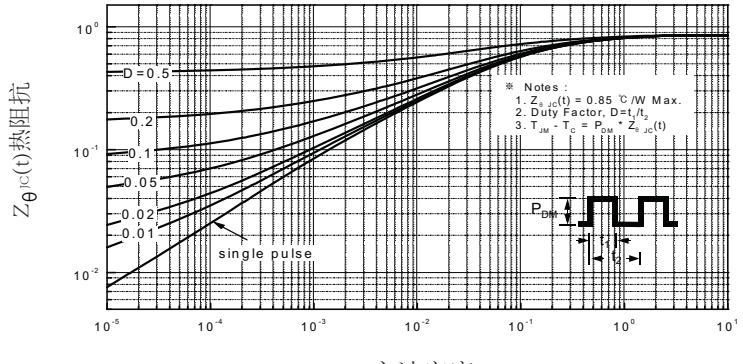


图11-1. 热阻抗变化曲线(TO-220)

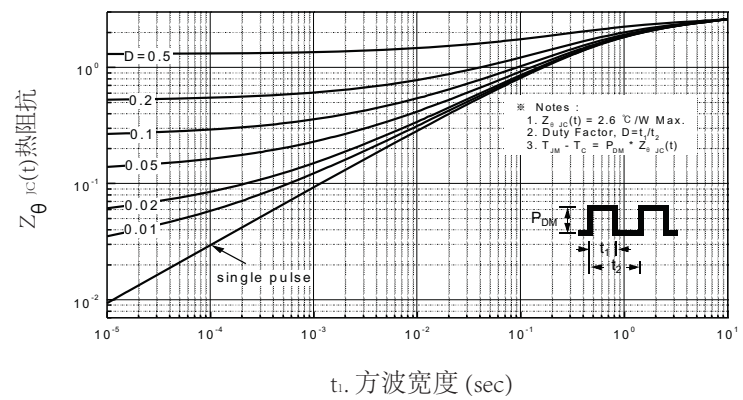
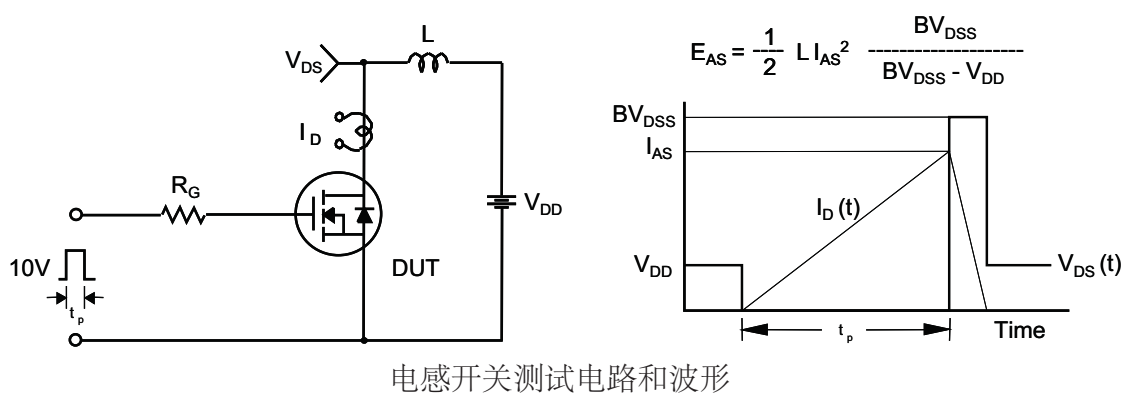
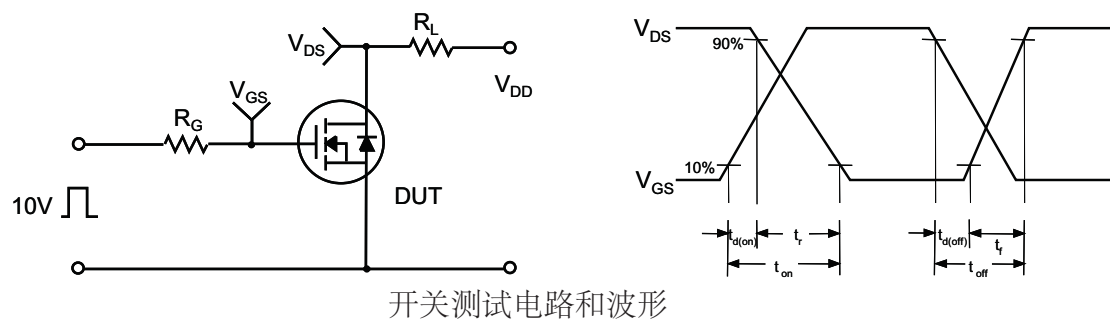
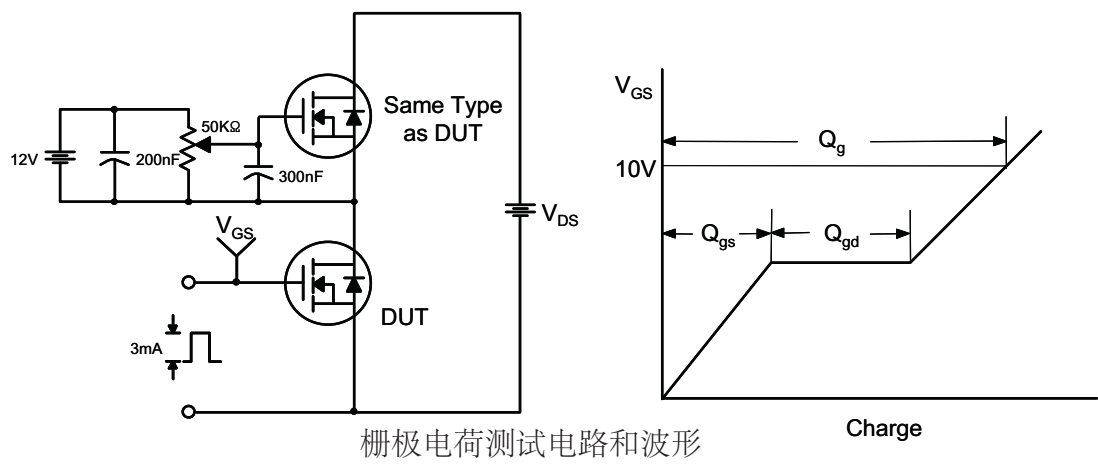
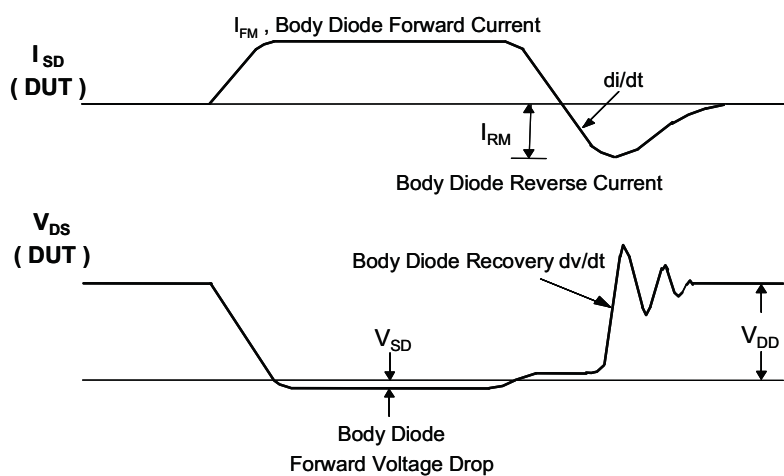
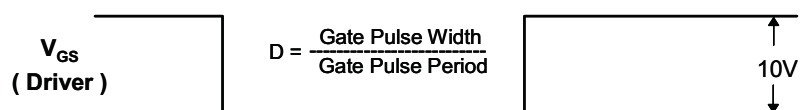
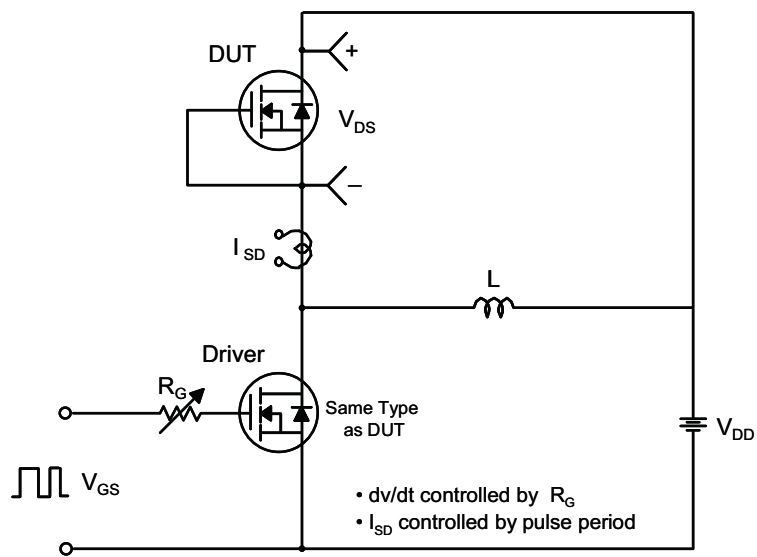


图11-2. 热抗阻变化曲线(TO-220F)

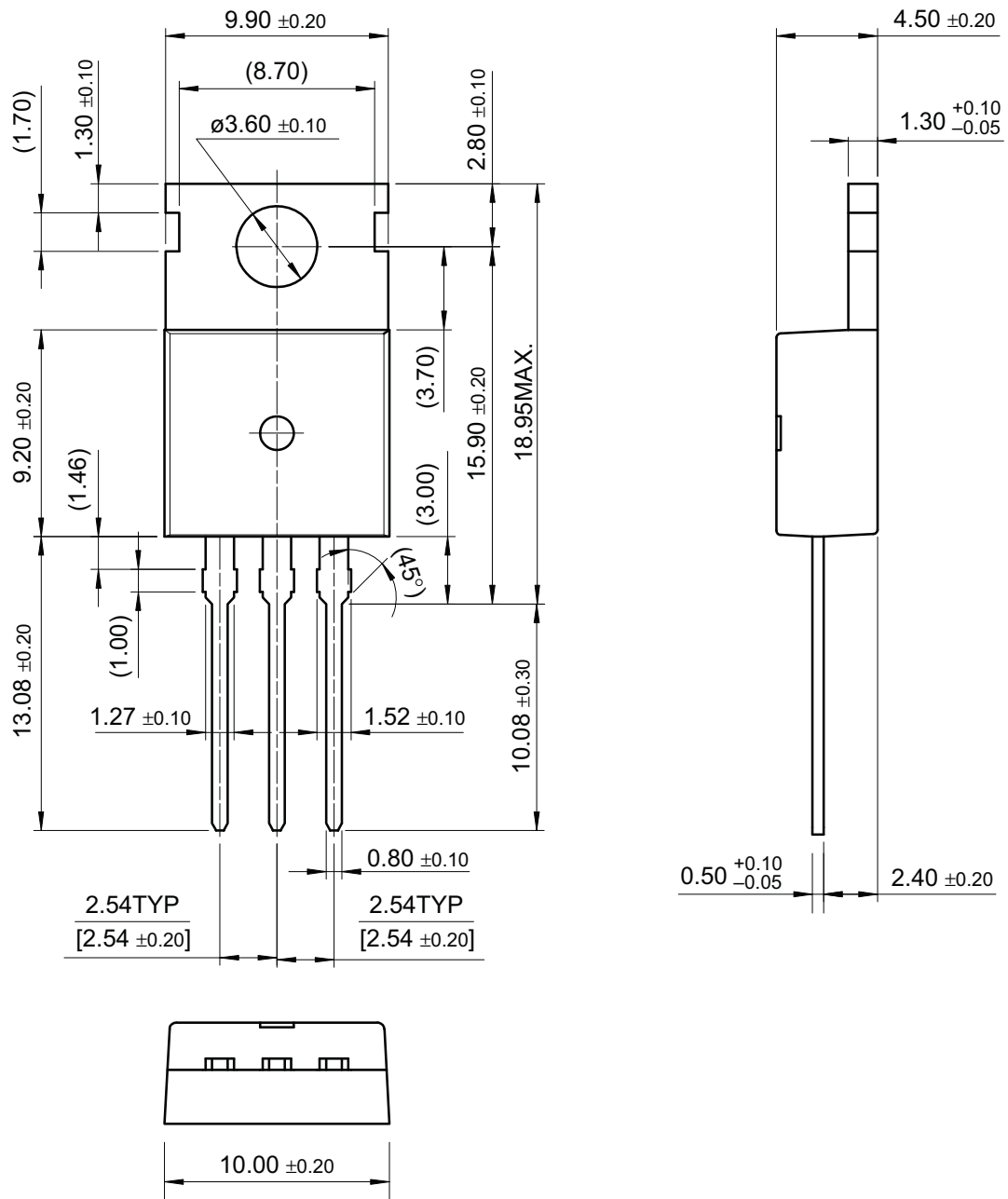




二极管反向恢复 dv/dt 测试电路和波形

外形尺寸

TO-220



外形尺寸

TO-220F

